

NGSで話題の分子バーコードを QIAseq[®] で試してみませんか

セカンドチャンス付きトライアルキャンペーン

キャンペーン期間 2018年11月30日まで

プロモーション
コード
JP18UNTRY2

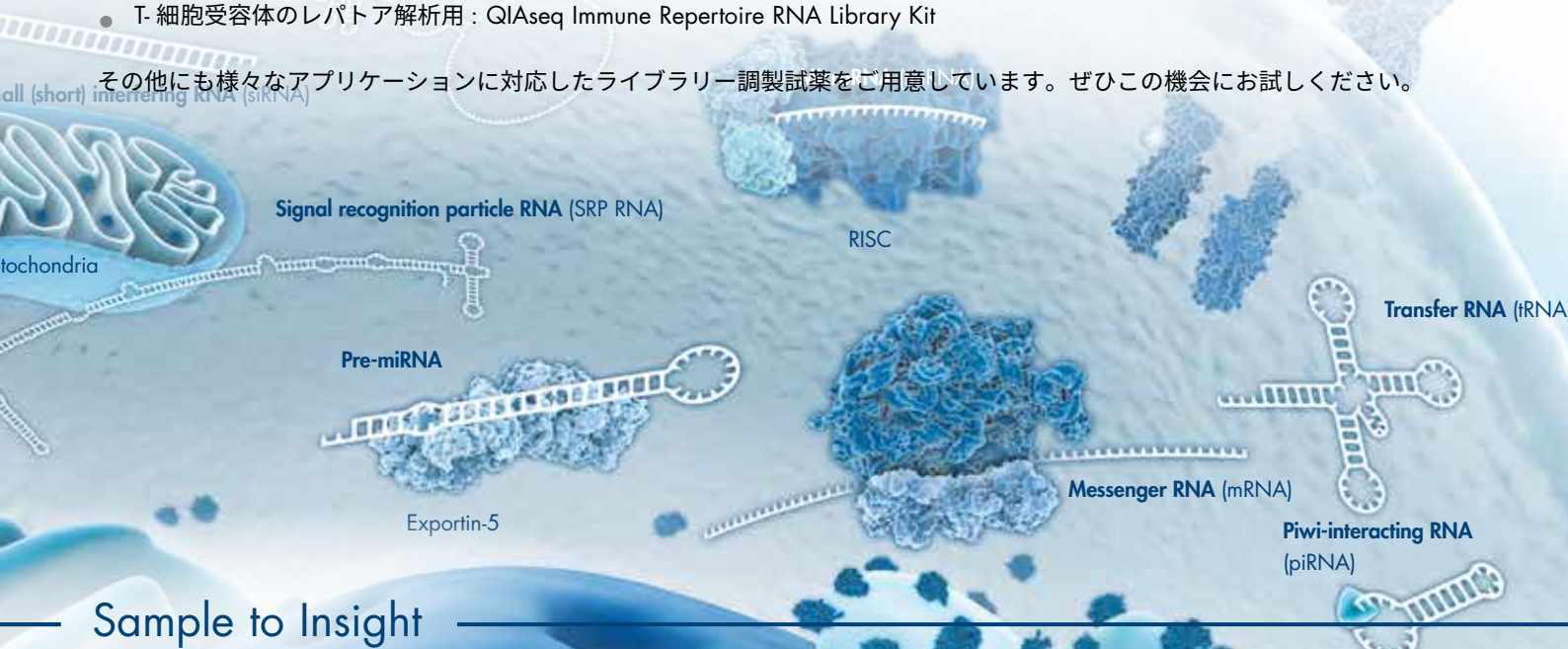
上記のキャンペーン期間中、対象製品を1製品につき1回のみ **40%オフ**でお求めいただけます。
さらにセカンドチャンスとして、本キャンペーン対象製品へ QIAseq 製品のラージサイズを
30%オフでご購入できるプロモーションコードを同封してお届けします。
セカンドチャンスのご注文受付は12月25日までです。この機会をぜひご利用ください。

高品質なライブラリーは全ての NGS 解析ワークフローにおいて重要です。

以下の QIAGEN ライブラリー調製試薬には、分子バーコード (Universal Molecular Indices: UMI) の技術を搭載しています。

- 変異解析用: QIAseq Targeted DNA Panels
- 融合遺伝子解析用: QIAseq RNAscan Panels
- 発現解析用: QIAseq Targeted RNA Panels
- miRNA 解析用: QIAseq miRNA Library Kit
- シングルセルからの 3' 末端 超マルチプレックス RNAseq 用: QIAseq UPX 3' Transcriptome Kit
- T-細胞受容体のレパトア解析用: QIAseq Immune Repertoire RNA Library Kit

その他にも様々なアプリケーションに対応したライブラリー調製試薬をご用意しています。ぜひこの機会にお試しく下さい。

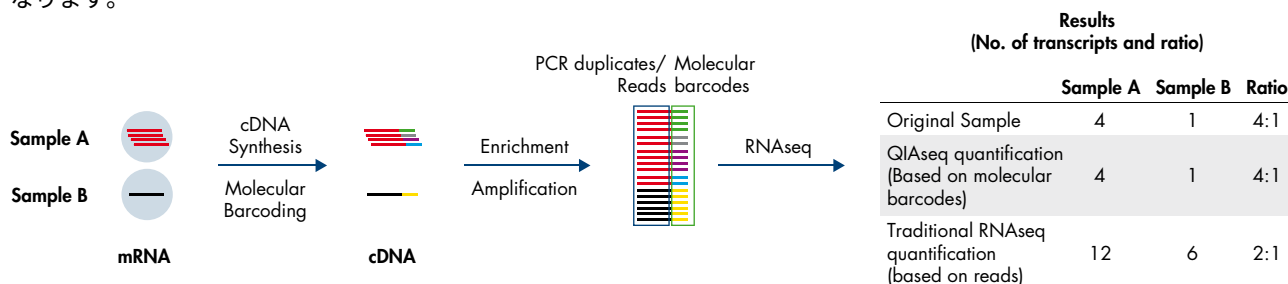


分子バーコードを用いたQIAGEN NGSソリューションをご存知ですか？

QIAGEN NGSパネルに用いられている分子バーコードの技術は、偽陽性の排除と高い定量性を提供することにより、より正確なDNAおよびRNAでNGS解析を実現することができます。

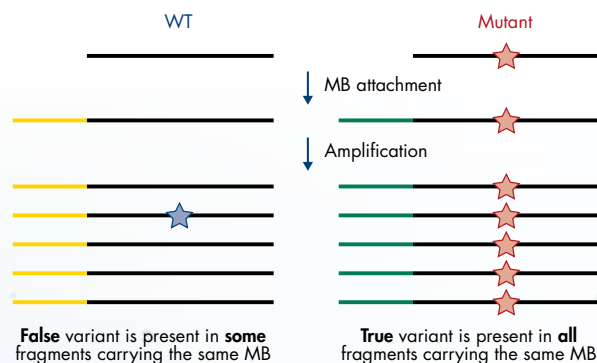
分子バーコードによるデジタルRNA-seq: 正確な発現解析

QIASEq Targeted RNA Panelsでは分子バーコードにより、PCR Duplicateや増幅バイアスの影響を取り除くことで、遺伝子発現プロファイルは実際と同じ状態で維持されます。最終的にそれぞれの転写物の相対量は、ターゲットリードに紐づいたそれぞれの分子バーコードの数によって決定されることで、増幅バイアスがなく、より正確な発現解析が可能となります。



分子バーコードによるデジタルDNA-seq

PCRによるターゲットエンリッチメント前の1分子のDNAまたは、逆転写により得た二本鎖cDNAに分子バーコードを付加します。この付加した分子バーコードにより、PCR増幅により生じた偽陽性を排除することができます。採用している分子バーコードは、ランダムな12塩基の組み合わせで、 $4^{12} = 16,777,216$ 通りにもなります。



QIAseq RNA関連製品一覧

RNAライブラリー調製用
QIAseq Kits

	Single cell - 100 cells; 10-1000 pg RNA		1-10 ng RNA		10-1000 ng RNA		mRNA		lncRNA detection		miRNA / piRNA		Exosomal RNA		FFPE / fragmented RNA		Targeted panel		Universal library		Unique Molecular Indices (UMIs)		QIAseq Beads		Sample Index同梱 (Yes)・別売D (No)		Species		Illumina (IL) / Thermo-Fisher (TF)		Most common applications	
	Input sample and amount																															
QIAseq UPX 3' Transcriptome Kits	●				●														●	●	●	●	No		Human Mouse Monkey	IL	ハイスループット・トランスクリプトームな遺伝子発現					
QIAseq Immune Repertoire RNA Library Kit (TCR Panel)				●	●														●	●			No		Human Mouse	IL	クロノタイプ同定のためのT細胞受容体 CDR3領域の定量と同定					
QIAseq Stranded mRNA Select Kit		●*	●	●															●				Yes		Any	IL	mRNA濃縮による遺伝子発現およびアイソフォーム検出					
QIAseq Stranded Total RNA Library Kit		●†	●	●	●		●	●											●				Yes		Any	IL	rRNA/遺伝子のglobin depleted RNA/lncRNA発現、RNAアイソフォーム、SNVs用。メタトランスクリプトミクス対応					
QIAseq miRNA Library Kit		●	●				●	●											●	●			No		Any	IL	miRNA, piRNA 同定と定量					
QIAseq Targeted RNA Panels		●	●	●	●				●	●									●				No		Human Mouse	IL/TF	mRNA/lncRNA遺伝子発現					
QIAseq Targeted RNAscan Panels				●	●						●	●											No		Human	IL/TF	融合遺伝子解析					
QIAseq FX Single Cell RNA Library Kit	●																		●				Yes		Any	IL	遺伝子発現、RNAアイソフォーム検出					

* 1-10 ng of enriched mRNA; usually achieved by starting with 100 ng of total RNA and using mRNA enrichment protocol included with the kit.

† 1-10 ng of depleted RNA; usually achieved by starting with 100 ng of total RNA and depleting ribosomal RNA and globin RNA (for applications from blood).

2018年11月30日までのキャンペーン期間中、お一人様1回のみ、プロモーションコード **JP18UNTRY2** でお申し込みいただくと**40%オフ**となる対象製品をご紹介します。最終ページには、ラージサイズのキットを**30%オフ**でお求めいただけるセカンドチャンス対象製品を掲載しています。

RNA関連製品

微量のRNAからハイスループット3'トランスクリプトームNGSを実現

New! QIAseq UPX 3' Transcriptome Kits 

- 1~100個の細胞または10 pg~1 ngの精製RNAから開始
- 精度、特異性、感度を高めるためにLNA技術を採用
- 分子バーコード(UMI)による増幅バイアスの除去
- セルIDとサンプルIDにより、最大18,432サンプルの転写産物を同時にシークエンス解析可能
- GeneGlobe®データ解析センターによるクラウドベースのデータ解析



製品名	Cat. no.	希望小売価格 (¥)	キャンペーン価格 (¥)
QIAseq UPX 3' Transcriptome Kit (96)	333088	306,500	183,900
QIAseq UPX 3' Trans. 12-Index (48)*	333074	110,000	66,000

* Illumina シークエンサー用のアダプターと 12 種類のインデックス 48 サンプル用

† Illumina シークエンサー用のアダプターと 48 種類のインデックス 192 サンプル用

miRNA検出

QIAseq miRNA Library Kit 

- 1 ng のRNAから対応可能
- ゲル抽出不要なワークフロー
- 分子バーコードによるmiRNAの正確な定量
- クラウドベースのウェブ上での簡単なデータ解析



製品名	Cat. no.	希望小売価格 (¥)	キャンペーン価格 (¥)
QIAseq miRNA Library Kit (12)	331502	153,000	91,800
QIAseq miRNA NGS 12 Index IL (12)*	331592	69,500	41,700

* Illumina シークエンサー用のアダプターとインデックス 12 indexes for 12 samples

RNA関連製品 (続き)

免疫レパトア解析: T-細胞受容体のRNA-seq

New! QIAseq Immune Repertoire RNA Library Kit Illumina Platform

- 分子バーコード(UMI)による正確な定量とシークエンス解析
- 単一ライブラリーからアルファ、ベータ、ガンマ、デルタ鎖全て解析可能
- ヒトまたはマウスサンプルに対応
- GeneGlobeデータ解析センターによるクラウドベースのデータ解析
- QIAseqサンプルインデックスにより最大384サンプルまでマルチプレックス可能 (別途注文)



製品名	Cat. no.	希望小売価格 (¥)	キャンペーン価格 (¥)
Human TCR Panel, ver. Z, QIAseq Immune Repertoire RNA Library Kit, 12 samples	IMHS-001Z-12	139,000	83,400
Mouse TCR Panel, ver. Z, QIAseq Immune Repertoire RNA Library Kit, 12 samples	IMMM-001Z-12	139,000	83,400
QIAseq 12-Index I (48)*	333714	152,000	91,200

* Illumina シークエンサー用のアダプターと 12 種類のインデックス 48 サンプル用

遺伝子発現解析、新規の融合遺伝子探索、転写産物SNV/Variant同定に最適

New! QIAseq Stranded RNA Library Kits Illumina Platform

- CleanStart™プロトコルによるHi-Fidelity PCR増幅とコンタミネーション防止
- 迅速で簡単なプロトコルで新鮮なサンプルおよびFFPEサンプルに対応
- 従来法によるストランド特異的ライブラリー調製に必要なアクチノマイシンDおよびdUTP分解の工程が不要
- デュアルバーコードのサンプルアダプタープレートとQIAseq磁気ビーズが同梱
- mRNA濃縮またはトータルRNAに最適化済みのプロトコル



製品名	Cat. no.	希望小売価格 (¥)	キャンペーン価格 (¥)
QIAseq Stranded Total RNA Lib Kit (24)*	180743	162,000	97,200
QIAseq Stranded mRNA Select Kit (24)*	180773	170,000	102,000

* アダプター同梱

RNA関連製品 (続き)

シングルセル発現解析

QIAseq FX Single Cell RNA Library Kits Illumina Platform

- 真核生物由来のシングルセルや10pgからの RNAに対応
- mRNAやlncRNAなど多様なRNA由来のライブラリー構築
- PCRフリーでバイアスを最小限にしたワークフロー
- シングルセルからのトランスクリプトーム増幅からライブラリー構築までわずか5.5時間で完了



製品名	Cat. no.	希望小売価格 (¥)	キャンペーン価格 (¥)
QIAseq FX Single Cell RNA Library Kit (24)*	180733	180,000	108,000

* アダプター同梱

融合遺伝子解析

QIAseq Targeted RNAscan Panels Illumina Platform ThermoFisher Platform

- 既知の融合遺伝子や片側未知の融合遺伝子の検出に対応
- 分子バーコードによる正確かつ低頻度の融合遺伝子検出が可能
- サンプル調製からデータ解析まで一貫したワークフロー



製品名	Cat. no.	希望小売価格 (¥)	キャンペーン価格 (¥)
Human Leukemia Panel (12)	FHS-001Z-12	167,000	100,200
Human Solid Tumor Panel (12)	FHS-002Z-12	167,000	100,200
Human Lung Cancer Panel (12)	FHS-003Z-12	167,000	100,200
Human Oncology Panel (12)	FHS-3001Z-12	251,000	150,600
QIAseq 12-Index I (48)*	333714	152,000	91,200
QIAseq 12-Index L (48)†	333764	152,000	91,200

* Illumina シークエンサー用アダプターと 12 種類のインデックス 48 サンプル用

† ThermoFisher 用アダプターと 12 種類のインデックス 48 サンプル用

Accessories (以下の製品は、定量 PCR 装置によりご注文番号が異なります。www.QIAGEN.com より、お手持ちの定量 PCR 装置にあった注文番号をお選びください。)

QIAseq Library Quant Assay Kit [‡]	varies	58,500	35,100
QIAseq Library Quant Array Kit [‡]	varies	varies	varies
QIAseq DNA QuantiMIZE Assay Kit [§]	varies	57,000	34,200
QIAseq DNA QuantiMIZE Array Kit [§]	varies	varies	varies

[‡] リアルタイム PCR によるライブラリー定量

[§] リアルタイム PCR による FFPE サンプルの品質確認

RNA関連製品 (続き)

mRNA および lncRNA用のターゲット発現解析

QIAseq Targeted RNA Panels

illumina Platform

ThermoFisher Platform

- 分子バーコード技術による組織やFFPEサンプルからの正確なターゲット発現解析
- ヒトおよびマウスに対応
- cDNAもしくは最小25 ngのRNAから測定可能
- サンプル調製からデータ解析まで一貫したワークフロー



製品名	Cat. no.	希望小売価格 (¥)	キャンペーン価格 (¥)
Human Angiogenesis & Endothelial Cell Biology (12)	RHS-001Z-12	139,000	83,400
Human Apoptosis & Cell Death (12)	RHS-002Z-12	139,000	83,400
Human Cancer Transcriptome (12)	RHS-003Z-12	139,000	83,400
Human Extracellular Matrix & Cell Adhesion Molecules (12)	RHS-004Z-12	139,000	83,400
Human Inflammation & Immunity Transcriptome (12)	RHS-005Z-12	139,000	83,400
Human Molecular Toxicology Transcriptome (12)	RHS-006Z-12	139,000	83,400
Human Signal Transduction PathwayFinder (12)	RHS-007Z-12	139,000	83,400
Human Stem Cell & Differentiation Markers (12)	RHS-008Z-12	139,000	83,400
Human Immuno-Oncology (12)	RHS-009Z-12	139,000	83,400
Mouse Angiogenesis & Endothelial Cell Biology (12)	RMM-001Z-12	139,000	83,400
Mouse Apoptosis & Cell Death (12)	RMM-002Z-12	139,000	83,400
Mouse Cancer Transcriptome (12)	RMM-003Z-12	139,000	83,400
Mouse Extracellular Matrix & Cell Adhesion Molecules (12)	RMM-004Z-12	139,000	83,400
Mouse Inflammation & Immunity Transcriptome (12)	RMM-005Z-12	139,000	83,400
Mouse Molecular Toxicology Transcriptome (12)	RMM-006Z-12	139,000	83,400
Mouse Signal Transduction PathwayFinder (12)	RMM-007Z-12	139,000	83,400
Mouse Stem Cell & Differentiation Markers (12)	RMM-008Z-12	139,000	83,400
Mouse Immuno-Oncology (12)	RMM-009Z-12	139,000	83,400
QIAseq Targeted RNA 12-Index I (48)*	333114	55,500	33,300
QIAseq Targeted RNA 12-Index L (48)†	333214	55,500	33,300

* Illumina シークエンサー用アダプターと 12 種類のインデックス 48 サンプル用

† ThermoFisher 用アダプターと 12 種類のインデックス 48 サンプル用

DNA関連製品

全ゲノム解析またはハイブリキャプチャー用のライブラリー調製

QIAseq FX DNA Library Kit Illumina Platform

- 酵素法によるゲノム断片化で全ゲノム解析、メタゲノム解析に最適なライブラリー調製法
- 96well フォーマットへの対応可能
- バイアスを最小限に、均一なカバレッジを取得可能
- 1 ng -1 µgまでの幅広いインプットDNA量に対応



製品名	Cat. no.	希望小売価格 (¥)	キャンペーン価格 (¥)
QIAseq FX DNA Library Kit (24)*	180473	115,000	69,000

* アダプター同梱

ライブラリー調製

QIAseq 1-Step Amplicon DNA Library Kit Illumina Platform

- マルチプレックスPCR産物からわずか30分でライブラリー調製可能
- 16S rRNAマイクロバイオロジーのプロファイリングに最適
- 室温、1ステップで自動化に最適



製品名	Cat. no.	希望小売価格 (¥)	キャンペーン価格 (¥)
QIAseq 1-Step Amplicon DNA Library Kit (12)	180412	43,000	25,800
GeneRead Adapter I Set A 12-plex (144)*	180985	163,000	97,800
GeneRead Adapter I Set B 12-plex (144)*	180986	163,000	97,800

* Illumina® シークエンサー用のアダプターとインデックス

DNA関連製品 (続き)

ライブラリー調製

QIAseq Ultralow Input Library Kit **Illumina Platform**

- 超高効率なケミストリーで10pgのゲノムからライブラリー調製可能
- 遊離DNAやChIP-seqのアプリケーションに最適



製品名	Cat. no.	希望小売価格 (¥)	キャンペーン価格 (¥)
QIAseq Ultralow Input Library Kit (12)	180492	44,500	26,700
GeneRead Adapter I Set A 12-plex (144)*	180985	163,000	97,800
GeneRead Adapter I Set B 12-plex (144)*	180986	163,000	97,800

* Illumina® シークエンサー用のアダプターとインデックス

ライブラリー調製

QIAseq FX Single Cell DNA Library Kits **Illumina Platform**

- シングルセルや超微量DNAからの全ゲノム増幅からライブラリー調製までのワークフロー
- わずか4時間で完結するPCRフリーのケミストリー
- 微量サンプルからの染色体異常、コピー数多型解析に



製品名	Cat. no.	希望小売価格 (¥)	キャンペーン価格 (¥)
QIAseq FX Single Cell DNA Library Kit (24)*	180713	154,000	92,400

* アダプター同梱

DNA関連製品 (続き)

変異解析

QIAseq Targeted DNA Panels

Illumina Platform

ThermoFisher Platform

- 分子バーコードによるPCR duplicateや偽陽性排除が可能
- 低頻度変異検出対応パネル
- FFPEやcfDNAのヒトサンプルの微量サンプルに最適化
- 高GC領域でのカバレッジを最大化するためのbufferテクノロジー
- サンプル調製からデータ解析まで一貫したワークフロー



製品名	Cat. no.	希望小売価格 (¥)	キャンペーン価格 (¥)
Human Breast Cancer Panel (12)	DHS-001Z-12	174,000	104,400
Human Colorectal Cancer Panel (12)	DHS-002Z-12	174,000	104,400
Human Myeloid Neoplasms Panel (12)	DHS-003Z-12	174,000	104,400
Human Lung Cancer Panel (12)	DHS-005Z-12	174,000	104,400
Human Actionable Solid Tumor Panel (12)	DHS-101Z-12	174,000	104,400
Human BRCA1 and BRCA2 Panel (12)	DHS-102Z-12	174,000	104,400
Human BRCA1 and BRCA2 Plus Panel (12)	DHS-103Z-12	174,000	104,400
Human Pharmacogenomics Panel (12)	DHS-104Z-12	174,000	104,400
Human Mitochondria Panel (12)	DHS-105Z-12	174,000	104,400
Human Inherited Disease Panel (12)	DHS-3011Z-12	261,000	156,600
Human Comprehensive Cancer Panel (12)	DHS-3501Z-12	261,000	156,600
QIAseq 12-Index I (48)*	333714	152,000	91,200
QIAseq 12-Index L (48)†	333764	152,000	91,200

* Illumina シークエンサー用アダプターと 12 種類のインデックス 48 サンプル用

† ThermoFisher 用アダプターと 12 種類のインデックス 48 サンプル用

30%オフ

セカンドチャンス対象製品(ラージサイズ)

スモールサイズのキットに同封されているプロモーションコードとともに、12月25日までに販売店様へお申込みください。お1人様1回限りです。

製品名	Cat. no.	希望小売価格 (¥)	キャンペーン価格 (¥)
QIAseq 1-Step Amplicon Library Kit (96)	180415	384,000	268,800
QIAseq FX DNA Library Kit (96)	180475	439,000	307,300
QIAseq Ultralow Input Library Kit (96)	180495	411,000	287,700
QIAseq FX Single Cell DNA Library Kit (96)	180715	567,000	396,900
QIAseq FX Single Cell RNA Library Kit (96)	180735	659,000	461,300
QIAseq Stranded Total RNA Library Kit (96)	180745	557,000	389,900
QIAseq Stranded mRNA Select Kit (96)	180775	586,000	410,200
QIAseq miRNA Library Kit (96)	331505	906,000	634,200
QIAseq miRNA NGS 48 Index IL (96)	331595	139,000	97,300
QIAseq Targeted RNA Panel (96) R-96	333005	696,000	487,200
QIAseq UPX 3' Trans. 48-Index (192)	333075	220,000	154,000
QIAseq UPX 3' Transcriptome Kit (96-M)	333089	933,000	653,100
QIAseq UPX 3' Transcriptome Kit (384)	333090	933,000	653,100
QIAseq Targeted RNA 96-Index I (384)	333117	167,000	116,900
QIAseq Targeted RNA 96-Index HT I (384)	333127	167,000	116,900
QIAseq Targeted RNA 96-Index HT L (384)	333217	167,000	116,900
QIAseq Targeted DNA Panel (96)*	varies	1,014,000	709,800
QIAseq Targeted DNA HC Panel (96)*	varies	1,448,000	1,013,600
QIAseq Targeted RNAscan Panel (96)*	varies	974,000	681,800
QIAseq Targeted RNAscan HC Panel (96)*	varies	1,392,000	974,400
QIAseq Immune Repertoire RNA Library Kit (96)*	varies	627,000	438,900
QIAseq 96-Index I Set A (384)	333727	668,000	467,600
QIAseq 96-Index I Set B (384)	333737	668,000	467,600
QIAseq 96-Index I Set C (384)	333747	668,000	467,600
QIAseq 96-Index I Set D (384)	333757	668,000	467,600
QIAseq 96-Index L (384)	333777	668,000	467,600

* ご利用の対象サンプルや機種によってご注文番号が異なります。詳細はwww.qiagen.comをご覧ください。

参考文献

QIAseq miRNA Library Kit

- 1: RNA Biol. 2017 Dec 2;14(12):1756-1765. doi: 10.1080/15476286.2017.1356566. Epub 2017 Oct 9. Comparative analysis of LIN28-RNA binding sites identified at single nucleotide resolution. Ransey E1, Björkbohm A2,3, Lelyveld VS2, Biecek P4, Pantano L5, Szostak JW2, Sliz P1,6.
- 2: Exosomes from Endothelial Progenitor Cells Improve the Outcome of a Murine Model of Sepsis Original Research Article. Molecular Therapy, Volume 26, Issue 5, 2 May 2018, Pages 1375-1384. Yue Zhou, Pengfei Li, Andrew J. Goodwin, James A. Cook, Perry V. Halushka, Eugene Chang, Hongkuan Fan.
- 3: Janaszak-Jasiecka A, Siekierzycka A, Bartoszewska S, Serocki M, Dobrucki LW, Collawn JF, Kalinowski L, Bartoszewski R. eNOS expression and NO release during hypoxia is inhibited by miR-200b in human endothelial cells. Angiogenesis. 2018 May 8. doi: 10.1007/s10456-018-9620-y. [Epub ahead of print] PubMed PMID: 29737439.

QIAseq Targeted RNA Panels

- 1: A function-blocking CD47 antibody modulates extracellular vesicle-mediated intercellular signaling between breast carcinoma cells and endothelial cells. Kaur S, Elkahlon AG, Singh SP, Arkakyan A, Roberts DD. J Cell Commun Signal. 2018 Mar;12(1):157-170. doi: 10.1007/s12079-017-0428-0. Epub 2017 Nov 29.
- 2: A Role for Iodide and Thyroglobulin in Modulating the Function of Human Immune Cells. Bilal MY, Dambaeva S, Kwak-Kim J, Gilman-Sachs A, Beaman KD. Front Immunol. 2017 Nov 15;8:1573. doi: 10.3389/fimmu.2017.01573. eCollection 2017.
- 3: Chemoprevention with Cyclooxygenase and Epidermal Growth Factor Receptor Inhibitors in Familial Adenomatous Polyposis Patients: mRNA Signatures of Duodenal Neoplasia. Delker DA, Wood AC, Snow AK, Samadder NJ, Samowitz WS, Affolter KE, Boucher KM, Pappas LM, Stijleman JJ, Kanth P, Byrne KR, Burt RW, Bernard PS, Neklasen DW. Cancer Prev Res (Phila). 2018 Jan;11(1):4-15. doi: 10.1158/1940-6207.CAPR-17-0130. Epub 2017 Nov 6.
- 4: JCI Insight. 2017 Sep 21;2(18). pii: 95352. doi: 10.1172/jci.insight.95352. [Epub ahead of print] Monocyte dysregulation and systemic inflammation during pediatric falciparum malaria. Dobbs KR1,2, Embury P1, Vulule J3, Odada PS3, Rosa BA4, Mitreva M4, Kazura JW1, Dent AE1,2.
- 5: Sahay B, Bshant K, Nelson NJ, Patsy RL, Gadila SK, Boohaker R, Verma A, Strle K, Sellati TJ. Induction of Interleukin 10 by Borrelia burgdorferi Is Regulated by the Action of CD14-Dependent p38 Mitogen-Activated Protein Kinase and cAMP-Mediated Chromatin Remodeling. Infect Immun. 2018 Mar 22;86(4). pii: e00781-17. doi: 10.1128/IAI.00781-17. Print 2018 Apr. PubMed PMID: 29311239; PubMed Central PMCID: PMC5865024.
- 6: Halim L, Romano M, McGregor R, Correa I, Pavlidis P, Grageda N, Hoong SJ, Yuksel M, Jassem W, Hannen RF, Ong M, Mckinney O, Hayee B, Karagiannis SN, Powell N, Lechler RI, Nova-Lamperti E, Lombardi G. An Atlas of Human Regulatory T Helper-like Cells Reveals Features of Th2-like Tregs that Support a Tumorigenic Environment. Cell Rep. 2017 Jul 18;20(3):757-770. doi: 10.1016/j.celrep.2017.06.079. PubMed PMID: 28723576; PubMed Central PMCID: PMC5529316.

QIAseq FX DNA Library Kit

- 1: Eighteen SSR Markers for the Japanese Clawed Salamander, *Onychodactylus japonicus*, and Cross-amplification in its Congeners N Yoshikawa, N Nagata - Current Herpetology, 2017 - jstage.jst.go.jp.
- 2: Sci Rep. 2017 Jul 12;7(1):5199. doi: 10.1038/s41598-017-05436-4. Massively parallel whole genome amplification for single-cell sequencing using droplet microfluidics. Hosokawa M1,2, Nishikawa Y3, Kogawa M3,4, Takeyama H5,6,7.
- 3: Transbound Emerg Dis. 2018 Apr;65(2):e355-e360. doi: 10.1111/tbed.12765. Epub 2017 Nov 16. Molecular epidemiological survey and phylogenetic analysis of bovine influenza D virus in Japan. Mekata H1,2, Yamamoto M1, Hamabe S3, Tanaka H4, Omatsu T5, Mizutani T5, Hause BM6, Okabayashi T2.
- 4: ascopubs.org/journal/po JCO™ Precision Oncology Targeted Error-Suppressed Detection of Circulating Paternal DNA to Establish a Diagnosis of Gestational Trophoblastic Neoplasm Jean-Michel Lavoie, Miguel Alcaide, Rosemary A. Fisher, Michael J. Seckl, Ryan Morin, and Anna V. Tinker.
- 5: Viruses. 2017 Oct 21;9(10). pii: E307. doi: 10.3390/v9100307. The Operophtera brumata Nucleopolyhedrovirus (OpbuNPV) Represents an Early, Divergent Lineage within Genus Alphaculovirus. Harrison RL1, Rowley DL2, Mowery JD3, Baughan GR4, Burand JP5.

QIAseq Ultralow Input Library Kit

- 1: MBio. 2017 Nov 7;8(6). pii: e01272-17. doi: 10.1128/mBio.01272-17. HupB Is a Bacterial Nucleoid-Associated Protein with an Indispensable Eukaryotic-Like Tail. Hołowka J1, Trojanowski D2, Ginda K2,3, Wojtas B4, Gielniewski B4, Jakimowicz D1,2, Zakrzewska-Czerwińska J5,2.
- 2: JMAOphthalmology | Original Investigation. Potential of Aqueous Humor as a Surrogate Tumor Biopsy for Retinoblastoma. Jesse L. Berry, MD; Liya Xu, PhD; A. Linn Murphree, MD; Subramanian Krishnan, PhD; Kevin Stachelek, BS; Emily Zolfaghari, MS; Kathleen McGovern, MS; Thomas C. Lee, MD; Anders Carlsson, PhD; Peter Kuhn, PhD; Jonathan W. Kim, MD; David Cobrinik, MD, PhD; James Hicks, PhD.

QIAseq FX Single Cell DNA Library Kit

Genome Biol Evol. 2017 Dec 1;9(12):3373-3383. doi: 10.1093/gbe/evx256. High-Resolution Single-Cell Sequencing of Malaria Parasites. Trevino SG1, Nkhoma SC2,3,4, Nair S1, Daniel BJ5, Moncada K5, Khoswe S2, Banda RL2, Nosten F6,7, Cheeseman IH1.

QIAseq Targeted DNA Panels

1. Clin Cancer Res. 2018 Mar 22. pii: clincanres.0143.2018. doi: 10.1158/1078-0432.CCR-18-0143. [Epub ahead of print] False positive plasma genotyping due to clonal hematopoiesis. Hu Y1, Ulrich B2, Supplee J3, Kuang Y3, Lizotte PH3, Feeney N4, Guibert N5, Awad MM6, Wong KK7, Jane PA6, Paweletz CP8, Oxnard GR9. Author information
2. Katsuhiko Yoshimura, Masato Karayama, Yusuke Inoue, Tomoaki Kahyo, Naoki Inui, Masato Maekawa, Haruhiko Sugimura, Takafumi Suda, Heterogeneous MET gene copy number and EGFR mutation elicit discordant responses to crizotinib between primary and metastatic lesions in erlotinib-resistant lung adenocarcinoma, in press, Lung Cancer, 2018.

NGSソリューションに関する詳細は、www.qiagen.com/QIAseq-NGS-solutions をご覧ください。

本誌に示されたキャンペーン価格は、日本国内において、キャンペーン期間内の1回のご注文のみに適用されます。価格は消費税別表示です。他のキャンペーンと組み合わせで割引を適用させることはできません。本キャンペーンがおお客様の購買ポリシーに反しないかを発注前にお客様自身でご確認ください。

記載のQIAGEN製品は研究用です。疾病の診断、治療または予防の目的には使用することはできません。最新のライセンス情報および製品ごとの免責事項に関しては、ウェブサイト www.qiagen.com の "Trademarks and Disclaimers" をご覧ください。QIAGENキットの Handbook および User Manual は www.qiagen.com から入手可能です。

Trademarks: QIAGEN®, Sample to Insight®, QIAseq®, GeneGlobe® (QIAGEN Group); Illumina® (Illumina, Inc.).

本文に記載の会社名および商品名は、各社の商標または登録商標です。

製品情報、仕様、カタログ番号 (Cat. no.)、価格等は予告なく変更する場合がございます。予めご了承ください。

2302522 08/2018 © 2018 QIAGEN, all rights reserved.

販売店